

溶鉄中炭素・酸素の活量係数におよぼす磷の影響について*

(脱磷反応に関する研究—II)

萬谷志郎**・的場幸雄***

Effect of Phosphorus on the Activity Coefficients of Carbon and Oxygen in Liquid Iron.

(Study of dephosphorization equilibrium—II)

Shiro BAN-YA and Sachio MATOBA

Synopsis:

Equilibrium of CO-CO₂ gas mixtures of known composition with carbon and oxygen in liquid iron-phosphorus alloys have been studied in the range of 0.5~5.5%P in liquid iron at 1510°C, 1560°C and 1610°C. It has been found that the effects of phosphorus on the activity coefficients of carbon or oxygen in liquid iron can be expressed by the following equations.

1. The relationships between the activity coefficients of carbon or oxygen and phosphorus in liquid iron.

$$\epsilon_C^{(P)} = \partial \log f_C^{(P)} / \partial \% P = 1,190/T - 0.608 \dots \dots \dots < 4\% P$$

$$\epsilon_P^{(C)} = \partial \log f_P^{(C)} / \partial \% C = 3,070/T - 1.57 \dots \dots \dots \text{Very dil. Sol.}$$

$$\epsilon_O^{(P)} = \partial \log f_O^{(P)} / \partial \% P = +0.006 \dots \dots \dots < 5\% P$$

2. The products of carbon and oxygen in liquid iron decreases with increasing phosphorus content. (Received 31 July 1962)

I. 緒 言

溶鉄中炭素、酸素の活量係数におよぼす添加元素の影響について最近多くの測定が行なわれ、炭素の活量については T. FUWA & J. CHIPMAN¹⁾ の広範な研究、F. D. RICHARDSON & W. E. DENNIS のクロウム、および著者らのニッケルおよびクロムに関する測定³⁾があり、また酸素の活量については、T. P. FLORIDIS & J. CHIPMAN⁴⁾、坂尾、佐野⁵⁾、的場、桑名⁶⁾の研究など多くの成果をあげている。しかし鉄鋼材料の五元素の一つとして重要である磷については炭素に関する測定はいまだなく、酸素の活量係数におよぼす影響については、J. PEARSON & E. T. TURKDOGAN⁷⁾; H. P. LEVENTS & A. M. SAMARIN⁸⁾ らのその影響が負であるとするもの、および D. DUTILLOY & J. CHIPMAN⁹⁾ の正とするものがあり、いまだ充分な結果が得られていない状態である。

著者らは前報¹⁰⁾において一定 CO-CO₂ 混合ガス下における平衡炭素量は磷添加により低下すること、すなわち炭素の活量係数は磷添加により増大し、その温度の影響もかなり大きいことを示した。しかし前報¹⁰⁾における

測定範囲では最高炭素濃度 0.2%C 程度であり、磷添加によりさらに低下し、そのため測定上における相対誤差が大きく、充分信頼するに足りる結果がえられなかつたので、さらに炭素濃度の高いガスピテンシャル下で、広い磷濃度範囲について、CO-CO₂ 混合ガスと溶鉄中炭素酸素間の平衡関係を測定し、その相互作用係数を求めた。

その測定範囲は実験温度 1510, 1560, 1610°C ガス混合比 $P_{CO}^2/P_{CO_2} = 288 \sim 254$ 、炭素濃度 0.5~0.27%，磷濃度 0.5~5.5% であり、この測定範囲では溶鉄中磷濃度は酸化除去されず、溶解の前後において濃度変化はない。したがつてその反応式は純 Fe-C-O 系平衡と同様つぎの 3 式で示され、溶解坩堝は中性の MgO 坩堝を使用し得る。



磷添加による上式の見掛け上の平衡恒数の変化に多元

* 昭和37年4月日本会講演大会にて発表

昭和37年7月31日受付

** 東北大学工学部金属工学科 工博

*** 東北大学名誉教授(富士製鉄株式会社)工博

系における WAGNER の近似式¹¹⁾を利用して、炭素および酸素の活量係数におよぼす磷の影響を求める。

II. 実験方法

実験方法および使用した材料は前報告¹⁰⁾¹³⁾にて既述したものとほぼ同様である故 2, 3 相違する点について述べる。

溶解用坩堝は実験室にて作製した内径 15 mm, 高さ 50 mm のマグネシャ坩堝であり、これに電解鉄棒、白銅、燐鉄などを適宜配合して反応管内に装入し、一定温度、一定 CO-CO₂ 混合ガス雰囲気中で 4~5 h 溶解して平衡に達せしめる。一回の溶解量は約 30~35 g であり、ガス流量は 200 cc/mn である。

平衡到達後は高周波炉の電流を切り、試料を下部に下げて直ちに急冷するか、または石英管による試料吸引を 2 回行ない、各溶解につき磷、炭素、酸素の分析を行なう。

急冷試料の場合は表面の耐火物を削り落し、偏析の影響を避けるため中心より縦方向に 4 等分し、1 個を磷および炭素分析試料に、残りを酸素分析試料に使用したが、急冷試料は試料表面の状態が悪く酸素分析の再現性が良

くなかった。石英管による試料吸引法はこれらの点を改善するため試みられたもので、試料採取管は内径約 4 mm の石英管の下端を閉じて側面に小孔を設け、約 0.3 g の純 Al 線を封入したものであり、試料を吸上げ直ちに水中急冷する。試料吸引法では空孔のない表面状態の緻密な分析試料がえられ、急冷法の場合より、酸素分析の再現性はよくなる。しかし本研究を通じての酸素含有量は 0.006~0.004% O₂ 程度であり、真空溶融法による酸素分析の再現性 ±0.0005% O₂ に比較してその変化量が少く、酸素の活量係数測定については充分な成果を期待することはできなかつた。また酸素以外の他の成分については急冷法、吸引法の両法についてなんらの相違も認められなかつた。

III. 実験結果

以上の方法により 1510, 1560, 1610°C の各温度について、磷濃度 5.5% まで測定を行なつた結果を Table 1 および Table 2 に示す。Table 1 は急冷法によるもの Table 2 は試料吸引法によるものである。

IV. 実験結果の考察

Table 1. Experimental results.

Temp. °C	Sample No.	P_{CO}^2 / P_{CO_2}	% C	% P	% O	$\log \frac{P_{CO}^2}{P_{CO_2} \cdot \% C}$	$\log \frac{P_{CO_2}}{P_{CO} \cdot \% O}$	$\log \frac{P_{CO}}{\% C \cdot \% O}$
1510	B P 121	286	0.450	2.26	—	2.803	—	—
1510	B P 122	286	0.448	2.29	—	2.805	—	—
1510	B P 123	286	0.360	4.69	0.0033	2.900	-0.0153	2.916
1510	B P 124	286	0.347	4.59	0.0035	2.916	-0.0013	2.916
1510	B P 129	286	0.525	1.76	—	2.736	—	—
1560	B P 80	287	0.463	0.50	0.0055	2.792	-0.202	2.590
1560	B P 79	287	0.443	1.03	—	2.811	—	—
1560	B P 81	287	0.460	1.04	0.0052	2.795	-0.179	2.617
1560	B P 82	287	0.416	2.07	—	2.839	—	—
1560	B P 83	287	0.420	2.07	0.0054	2.834	-0.192	2.643
1560	B P 84	287	0.373	3.05	—	2.886	—	—
1560	B P 87	287	0.376	3.06	0.0051	2.883	-0.173	2.711
1560	B P 88	287	0.362	3.51	0.0047	2.899	-0.135	2.763
1560	B P 85	287	0.352	4.02	0.0044	2.911	-0.111	2.800
1560	B P 86	287	0.323	5.00	—	2.948	—	—
1560	B P 89	287	0.326	5.14	0.0047	2.944	-0.135	2.811
1560	B P 90	254	0.419	0.53	—	2.872	—	—
1560	B P 91	254	0.377	1.98	0.0057	2.828	-0.164	2.664
1560	B P 95	254	0.345	1.97	0.0056	2.866	-0.154	2.713
1560	B P 93	254	0.339	3.11	0.0053	2.874	-0.132	2.741
1560	B P 94	254	0.316	3.95	0.0050	2.905	-0.105	2.800
1560	B P 92	254	0.342	2.65	—	2.870	—	—
1610	B P 125	286	0.337	2.84	—	2.929	—	—
1610	B P 126	286	0.357	2.59	—	2.904	—	—
1610	B P 127	286	0.274	5.44	—	3.018	—	—
1610	B P 128	286	0.286	5.29	0.0054	3.000	-0.193	2.805
1610	B P 130	286	0.328	3.90	—	2.941	—	—

Table 2. Experimental results.

Temp. °C	Sample No.	$P_{\text{CO}}^2 / P_{\text{CO}_2}$	% C	% P	% O	$\log \frac{P_{\text{CO}}^2}{P_{\text{CO}_2} \cdot \% \text{C}}$	$\log \frac{P_{\text{CO}_2}}{P_{\text{CO}} \cdot \% \text{O}}$	$\log \frac{P_{\text{CO}}}{\% \text{C} \cdot \% \text{O}}$
1510	B P 157	289	0.549	0.993	—	2.721	—	—
1510	B P 158	289	0.546	0.997	0.0045	2.723	-0.110	2.613
1510	B P 159	289	0.468	3.41	0.0039	2.790	-0.052	2.738
1510	B P 156	289	0.439	3.36	0.0039	2.818	-0.053	2.765
1560	B P 139	283	0.450	0.543	0.0057	2.789	-0.206	2.592
1560	B P 140	283	0.459	1.04	0.0056	2.790	-0.201	2.589
1560	B P 146	283	0.452	1.05	—	2.797	—	—
1560	B P 141	283	0.419	1.93	0.0048	2.829	-0.138	2.691
1560	B P 147	283	0.416	2.03	0.0052	2.833	-0.169	2.663
1560	B P 143	283	0.323	3.98	0.0047	2.942	-0.129	2.813
1560	B P 145	283	0.307	4.97	—	2.965	—	—
1560	B P 144	283	0.307	5.02	0.0045	2.965	-0.110	2.855
1560	B P 153	285	0.452	0.989	0.0052	2.800	-0.176	2.625
1560	B P 152	285	0.451	0.990	0.0051	2.801	-0.167	2.634
1560	B P 151	285	0.437	1.52	0.0053	2.815	-0.183	2.632
1560	B P 150	285	0.400	2.45	0.0050	2.853	-0.156	2.697
1560	B P 149	285	0.391	3.00	0.0049	2.863	-0.148	2.715
1560	B P 148	285	0.333	4.34	0.0041	2.933	-0.074	2.859
1610	B P 163	289	0.383	0.958	—	2.877	—	—
1610	B P 164	289	0.386	0.980	—	2.874	—	—
1610	B P 161	289	0.361	1.99	0.0062	2.903	-0.254	2.649
1610	B P 162	289	0.365	1.95	0.0060	2.898	-0.239	2.659
1610	B P 160	289	0.318	3.84	0.0055	2.958	-0.198	2.760

1) 炭素の活量係数におよぼす磷の影響について
 $\text{CO}-\text{CO}_2$ 混合ガスと溶鉄中炭素の関係は (1) 式のごとくであり、磷添加による (1) 式の見掛け上の平衡恒数を K_1'' 、また無限稀薄溶液に活量の基準を取つた場合の活量および活量係数を a_c , f_c とすれば WAGNER の式よりつぎの関係が得られる。



$$K_1'' = P_{\text{CO}}^2 / P_{\text{CO}_2} \% \text{C} \quad (1a)$$

$$\log a_c = \log \% \text{C} + \log f_c^{(\text{CO})} + \log f_c^{(\text{C})} + \log f_c^{(\text{P})} \quad (1b)$$

ただし $f_c^{(i)}$ は炭素の活量係数におよぼす i 成分の影響

Fig. 1 は (1) 式の見掛け上の平衡恒数 $\log K_1'' (= P_{\text{CO}}^2 / P_{\text{CO}_2} \% \text{C})$ と磷濃度の関係を示している。Fig. 1

によれば一定 $\text{CO}-\text{CO}_2$ 混合ガス下における平衡炭素量は磷添加により低下し、 $\log K_1''$ は増大する。なわち炭素の活量係数は磷添加より増大し、またその温度の影響も顕著であり低温度程大きいことが推測される。

本系における炭素の活量 a_c は WAGNER の式によれば (1b) 式のごとく示されるが、 $f_c^{(\text{C})}$ の値は本実験のごとく酸素量の低い範囲では $f_c^{(\text{CO})} = 1$ とみてよく、(1a) 式および (1b) 式を組合せることにより炭素の活量係数におよぼす磷の影響 $f_c^{(\text{P})}$ は下記のごとく求められる。

$$\log f_c^{(\text{P})} = \log K_1'' - \log K_1 - \log f_c^{(\text{CO})}$$

上式における $\log K_1$ および $\log f_c^{(\text{C})}$ は (1) 式の真の平衡恒数および鉄炭素二元系における炭

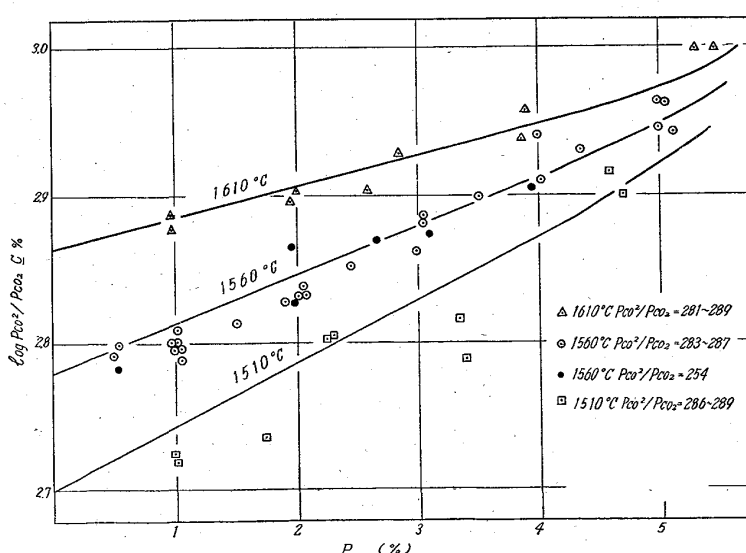


Fig. 1. Effect of phosphorus concentration on $\log K_1'' (= P_{\text{CO}}^2 / P_{\text{CO}_2} \% \text{C})$.

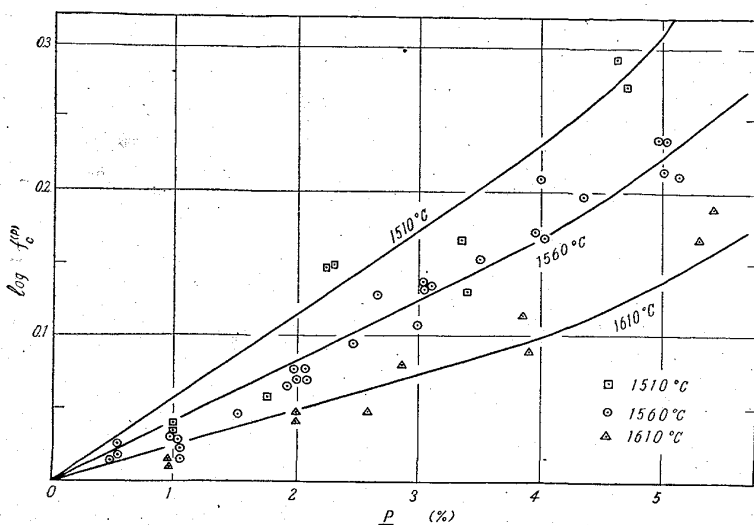


Fig. 2. Effect of phosphorus on activity coefficient of carbon.

素の活量係数であり著者らの前報¹⁰⁾告で与えられている。Fig. 2はこのようにして求めた炭系の活量係数におよぼす磷の影響 $\log f_C^{(P)}$ と溶鉄中磷濃度 (%P)との関係を示したもので、 $\log f_C^{(P)}$ の値は約 4%Pまでほぼ直線的に増加し、同一磷量について低温度程大きい。またこの直線部分の温度函数を示せば Fig. 3のごとくであり、これらの関係を示す実験式として次式をえた。

$$e_C^{(P)} = \partial \log f_C^{(P)} / \partial \% P = 1,190/T - 0.608 \\ \dots\dots\dots < 4\%P \quad (4)$$

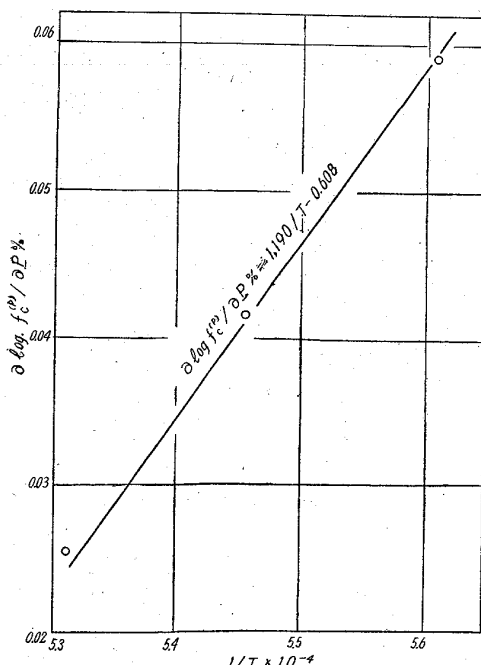


Fig. 3. Temperature function of interaction parameter $e_C^{(P)}$.

上述の関係をモル分率 (N_P) との関係について再計算すれば次式をえる。

$$\partial \log f_C^{(P)} / \partial N_P = 66,500/T - 33.6$$

$$\dots\dots\dots < 0.007N_P \dots\dots\dots (5)$$

また WAGNER¹¹⁾によれば稀薄溶液では $\epsilon_C^{(P)} = \epsilon_P^{(C)}$ なる関係が成立するとされ、これにより磷の活量係数におよぼす炭素の影響を求めれば次式のごとく得られる。

$$e_P^{(C)} = \partial \log f_P^{(C)} / \partial \% C = 3.070/T - 1.57$$

上述の値は各温度につき計算すれば下記のごとくである。

	$\partial \log f_C^{(P)} / \partial N_P$	$e_C^{(P)}$	$e_P^{(C)}$
1510°C	3.70	0.059	0.152
1560°C	2.68	0.041	0.105
1610°C	1.72	0.024	0.060

以上の結果から磷の活量係数におよぼす炭素の影響は正で、その温度の影響も大きいことが知られ、転炉製鋼法などにおいて脱磷を行なう場合、低温度で炭素濃度の高い内に脱磷されやすいような条件を作ることが、有効に脱磷を行なう上に有利であることが知られる。

また前報告(1)式の平衡恒数を求めるに当つて $f_P^{(C)} = 1$ としたことは、上述の値から見ても 0.2%C 以下では実験誤差を考慮した場合充分妥当であることがわかる。

2) 溶鉄中酸素の活量係数におよぼす磷の影響

CO-CO₂混合ガスと溶鉄中酸素の関係は(2)式のごとくで、磷添加による見掛け上の平衡恒数を K_2'' 、無限稀薄溶液に活量の基準をおいた時の酸素の活量および活量係数を a_O 、 f_O とすれば次式のごとく示される。



$$K_2'' = P_{CO_2} / P_{CO} \cdot \% O \quad (2a)$$

$$\log a_O = \log \% O + \log f_O^{(O)} + \log f_O^{(C)} + \log f_O^{(P)} \quad (2b)$$

ただし $f_O^{(i)}$ は酸素の活量係数におよぼす i 成分の影響

Fig. 4は(2)式の見掛け上の平衡恒数 $\log K_2'' (= P_{CO_2} / P_{CO} \% O)$ と溶鉄中磷濃度との関係を示したものである。本研究における酸素量は 0.006~0.004%O の範囲であり、酸素分析の再現性 ±0.0005%O に比較して小さいため測定結果は多少分散しているが、 $\log K_2''$ は磷濃度の増加により次第に増大する。すなわち磷添加により平衡酸素量は低下することを示しており、またそ

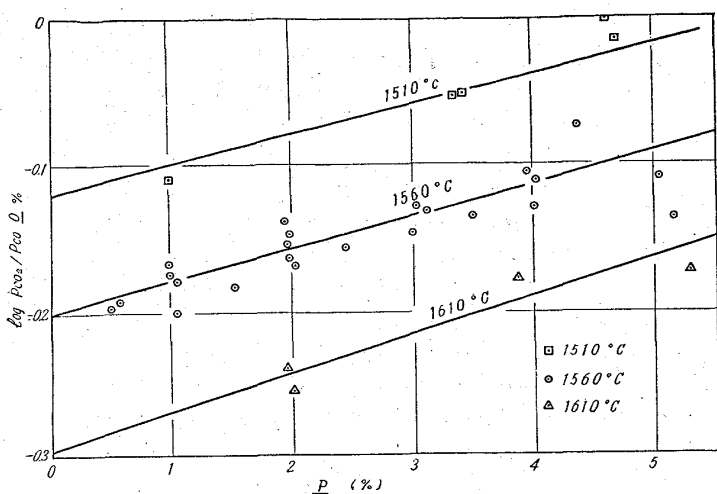


Fig. 4. Effect of phosphorus on $\log K_2''$
 $(=P_{CO_2}/P_{CO}\%O)$.

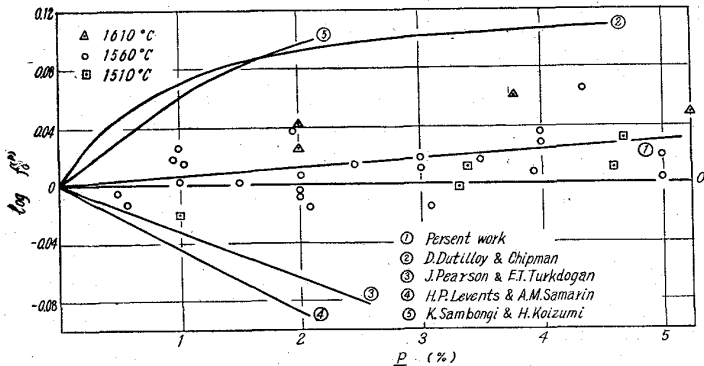


Fig. 5. Effect of phosphorus on activity coefficient of oxygen.

の温度の影響はあまり大きくなことが推測される。前述と同様の方法により $f_O^{(O)} = 1$ として(2a), (2b)式より酸素の活量係数におよぼす燐の影響は次式のごとく求められる。

$$\log f_O^{(P)} = \log K_2'' - \log K_2 - \log f_O^{(C)}$$

ただし $\log K_2$ は (2) 式の真の平衡恒数
 上式により求めた $\log f_O^{(P)}$ と溶鉄中燐濃度(%P)の関係を示せば Fig. 5 のごとくであり、燐濃度の低い範囲では大部分の値は $\log f_O^{(P)} = 0$ の付近に分散しているが、全体として燐濃度の増加により次第に正の方向に偏位しており、溶鉄中酸素の活量係数によぼす燐の影響は小さく、その値は正であることが知られる。実験結果の相対的誤差が大きいため充分な信頼度はないが、上述の結果より次式を得た。

$$e_0^{(P)} = \partial \log f_0^{(P)} / \partial \% P = +0.006$$

..... < 5\% P (7)

なおこの値として H_2 - H_2O 混合ガスと溶鉄中酸素間の平衡測定より J. PEARSON & E. T. TURK-DOGAN⁷⁾ は -0.032, N. P. LEVENTS & A. M. SAMARIN⁸⁾ は -0.044 を, D. DUTILLOY & J. CHIPMAN⁹⁾ は +0.07 と全く逆の結果を報告しており, また最近行なわれた三本木, 小泉¹⁰⁾の測定によれば +0.06 であるとされ, 酸素の活量係数におよぼす磷の影響についてはなお今後の検討を要するものと思われる. しかし最近行なわれた測定および著者らの結果を総括すれば, 溶鉄中酸素の活量係数におよぼす磷の影響は正であり, その値は余り大きくないとするものが正しいよう思う.

3) 溶鉄中の炭素, 酸素の積について

溶鉄中炭素、酸素間の反応は(3)式で示され、その見掛け上の平恒恒数を K_8'' 、炭素・酸素の積を m'' とすれば下記のごとくである。



$$m'' = [\% \text{C}] [\% \text{O}] \dots \dots \dots \quad (3 \text{ a}')$$

既述のごとく溶鉄中炭素および酸素の活量係数によれば、 $\log K_3''$ は正であるから、一定 $\text{CO}-\text{CO}_2$ 混合ガス下における平衡炭素量および酸素量は、 Mn 添加により減少し、その結果として $\log K_3''$ は増大し、炭素と酸素の積 m'' は減少することが推測される。Fig. 6 は炭素、酸素の濃度積 m'' と Mn 濃度の関係を示したもので m'' は Mn 添加により次第に減少する。

m'' の値は(4)式(7)式などより計算によって求めることもできるが、Fig. 6の結果より簡単な実験式とし

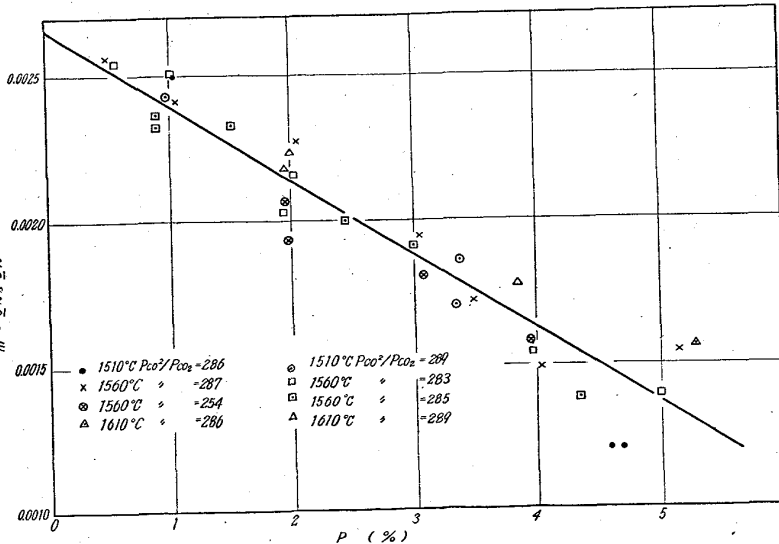


Fig. 6. Effect of phosphorus on carbon and oxygen products in liquid iron.

て次のとく示される。

$$m'' (= [\% \underline{C}] \cdot [\% \underline{O}]) = m' - 0.00026 \% \underline{P}$$

$$\dots\dots\dots < 5 \% \underline{P} \dots\dots\dots (8)$$

ただし m' は純 Fe-C-O 系における炭素と酸素の積

V. 結 言

溶融鉄-燐系合金中の炭素、酸素と CO-CO₂ 混合ガス間の平衡関係を 1510, 1560, 1610°C の各温度について燐濃度 5.5% まで測定し、つぎの結果を得た。

- 1) 溶鉄中炭素-燐、酸素-燐間の相互作用助係数として下記の式を得た。

$$e_C^{(P)} = \partial \log f_C^{(P)} / \partial \% \underline{P} = 1.190/T - 0.608$$

$$\dots\dots\dots < 4 \% \underline{P} \dots\dots\dots (4)$$

$$e_O^{(P)} \partial \log f_O^{(P)} / \partial \% \underline{P} = +0.006$$

$$\dots\dots\dots < 5 \% \underline{P} \dots\dots\dots (7)$$

- 2) 溶鉄中炭素と酸素の濃度積 m'' は燐濃度の増加とともに減少する。

終りに当り種々有益な助言を賜りました東北大学工学部金属工学科教授不破祐先生、および実験遂行に協力した仕幸三郎、吉住英雄の両工学士に深く感謝します。

文 献

- 1) T. FUWA & J. CHIPMAN: Trans. Met. Soc., Amer. Inst. Min., Met. & Pet. Eng., 215 (1959), p. 708
- 2) F. D. RICHARDSON & W. E. DENNIS: J. Iron & Steel Inst. (U.K.), 175 (1953), p. 257
- 3) 後藤、萬谷、的場: 鉄と鋼, 47 (1961) p. 1322
- 4) T. P. FLORIDIS & J. CHIPMAN: Trans. Met. Soc., Amer. Inst. Min., Met. & Pet. Eng., 208 (1958), p. 549
- 5) 坂尾、佐野: 学振19委 6366 (昭36.7)
- 6) 的場、桑名: 鉄と鋼, 47 (1961), p. 1326
- 7) J. PEARSON & E. T. TURKDOGAN: J. Iron & Steel Inst. (U.K.), 176 (1952), p. 19
- 8) H. P. LEVENTS & A. M. SAMARIN: Doklady Akad Nauk SSSR 101 (1955) 6
- 9) D. DUTILLOY & J. CHIPMAN: Trans. Met. Soc. Amer. Inst. Min., Met. & Pet. Eng., 218 (1960), p. 428
- 10) 萬谷、的場: 鉄と鋼, 48 (1962), p. 925~932
- 11) C. WAGNER: Thermodynamics of Alloys
- 12) 三本木、小泉: 鉄と鋼, 47 (1961), p. 1329
学振19委 6764 (昭37.7.15)
- 13) 萬谷、的場: 鉄と鋼, 49 (1963) 4, p. 649

溶鉄中のマンガンと酸素の平衡*

郡 司 好 喜**・的 場 幸 雄***

On the Equilibrium between Manganese and Oxygen in Liquid Iron.

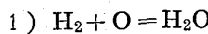
Kōki GUNJI and Sachio MATOBA

Synopsis:

The equilibrium of manganese and oxygen in liquid iron was studied at temperatures of 1550°C, 1607°C and 1663°C respectively. In the first place, the activity and free energy of oxygen in a binary Fe-O alloy were studied and successively those in the ternary Fe-Mn-O alloy were studied by almost same experimental procedure.

The electric iron or Fe-Mn alloys with the FeO-MnO slag in magnesia or alumina crucible were melted in the H₂-H₂O gaseous mixtures, and then the samples for the analysis of oxygen and manganese were withdrawn by means of suction.

These data obtained were summarized as follow:



$$\log K = 7,540/T - 3.46$$

- 2) The activity coefficient of oxygen in a binary Fe-O alloy, $\log f_O^{(CO)} = (-13,340/T + 6.59) / [\% O]$

* 昭和34年11月本会講演大会にて発表 ** 金属材料技術研究所 工博 *** 富士製鉄株式会社 工博
昭和37年9月22日受付